

**Список цитированных источников**

1. Wolfram Web Resources [Electronic resource] / ed. S. Wolfram. – Champaign, 2011. – Mode of access: www.wolfram.com.
2. Heikii Ruskieaa Mathematica Navigator Mathematics, Statistics and Graphics. – Elsevier Inc., 2009. – 1112 p.

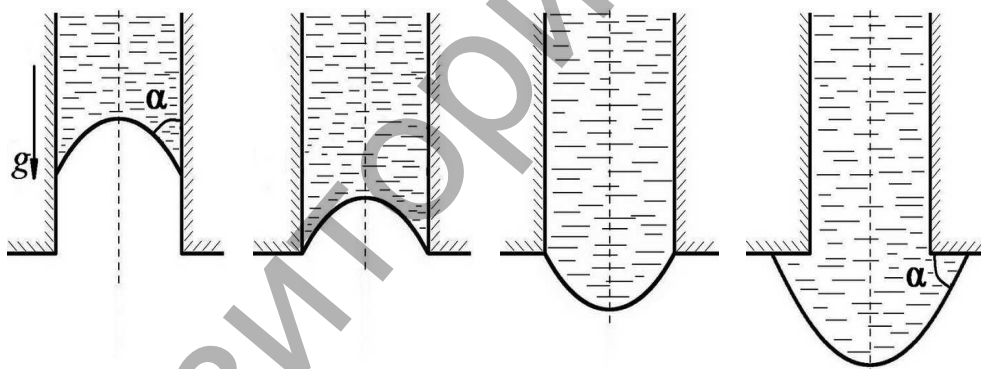
УДК 519.6:517.9:532.63

## ЧИСЛЕННОЕ РЕШЕНИЕ ЗАДАЧИ КАПИЛЛЯРНОЙ ГИДРОСТАТИКИ О РАВНОВЕСНЫХ ФОРМАХ ЖИДКОСТИ, ВЫДАВЛИВАЕМОЙ ИЗ КАПИЛЛЯРА

**Волотовская Ю.Н.**

*УО «Гомельский государственный университет им. Ф. Скорины», г. Гомель  
Научный руководитель – Полевиков В.К., к. ф.- м. н., доцент*

Задачи с нерегулярными условиями на границе занимают важное место в гидромеханике невесомости. Например, численное моделирование процесса выращивания монокристаллов, как и решение многих других прикладных задач гидромеханики невесомости, требует определения равновесных форм свободной поверхности с нерегулярными условиями на границе, при которых свободная поверхность опирается на линию излома твердой стенки [1]. Такие задачи ранее численно не решались, лишь некоторые подходы предложены в [2].

**Рисунок 1 – Иллюстрация эволюции свободной поверхности**

Данная работа посвящена численному моделированию равновесных капиллярных поверхностей с нерегулярными условиями контакта в случае классической задачи капиллярной гидростатики – о квазистатическом процессе медленного выдавливания жидкости из вертикального цилиндрического капилляра, примыкающего к плоской торцевой стенке [1]. Характерные стадии эволюции свободной поверхности показаны на рисунке 1.

Пусть  $R_0$  – радиус капилляра;  $V$  – объем жидкости;  $\alpha$  – угол смачивания. Радиус  $R_0$  примем за единицу длины и сформулируем осесимметричную задачу о равновесной форме свободной поверхности жидкости в безразмерных переменных. Для этого введем безразмерные цилиндрические координаты  $z$  и  $r$  так, чтобы ось  $z$  совпала с осью симметрии капилляра, и направим её против вектора ускорения свободного падения  $g$ . Выберем начало координат на плоской горизонтальной пластине, а именно – в центре основания капилляра. Обозначим через  $s$  безразмерную длину дуги искомой равновесной линии, изменяющуюся от  $s = 0$  в точке контакта меридиана с плоскостью  $r = 0$  до  $s = L$  в точке контакта меридиана с плоскостью  $z = 0$  или твердой стенкой капилляра.

В предположении осевой симметрии конфигурация свободной поверхности описывается некоторой парой параметрических функций  $r(s)$ ,  $z(s)$ , которые в условиях равновесия и присутствия силы тяжести удовлетворяют параметрическим уравнениям [1]:

$$\begin{aligned} z'' &= r'F, \quad r'' = -z'F, \quad 0 \leq s \leq L, \\ F &= -Boz - z'/r + C, \end{aligned} \quad (1)$$

где производные берутся по переменной  $s$ ;  $Bo = \rho g R_0^2 / \sigma$  – число Бонда;  $C$  – неопределенная пока константа;  $\rho$  – плотность жидкости;  $\sigma$  – коэффициент поверхностного натяжения.

Система дифференциальных уравнений (1) дополняется краевыми условиями симметрии на оси капилляра

$$r(0) = 0, \quad r'(0) = 1, \quad z'(0) = 0, \quad (2)$$

и краевыми условиями контакта с твердой стенкой в зависимости от положения свободной поверхности жидкости:

а) 
$$r(L) = 1, \quad r'(L) = \sin \alpha, \quad z'(L) = -\cos \alpha, \quad (3)$$

если точка контакта находится внутри капилляра;

б) 
$$r(L) = 1, \quad z(L) = 0, \quad (4)$$

если точка контакта закреплена на основании капилляра;

в) 
$$z(L) = 0, \quad r'(L) = \cos \alpha, \quad z'(L) = \sin \alpha, \quad (5)$$

если точка контакта находится на горизонтальной поверхности пластины.

Безразмерный объем жидкости определим как объем тела вращения

$$U = -2\pi \int_0^L z r r' ds, \quad \text{где } U = V / R_0^3. \quad (6)$$

Таким образом, задача разбивается на три подзадачи в зависимости от точки контакта свободной поверхности с твердой стенкой.

Следуя стратегии в [2], для получения явной формулы вычисления безразмерной длины  $L$  в процессе итерационного решения нелинейной задачи, сформулируем подзадачу (1), (2), (4), (6) в новых переменных

$$\bar{s} = s/L \in [0, 1], \quad \bar{z} = z/L, \quad \bar{r} = r/L.$$

Введем в рассмотрение новое неизвестное  $\beta(\bar{s})$  – угол между касательной к равновесной линии  $\bar{r}(\bar{s})$ ,  $\bar{z}(\bar{s})$  и осью  $O\bar{r}$ . В силу того, что  $\bar{r}' = \cos \beta$ ,  $\bar{z}' = \sin \beta$  подзадача (1), (2), (4), (6) примет вид

$$\begin{aligned} \beta' &= \Phi, \quad \beta(0) = 0, \quad \beta(1) = \gamma, \\ \bar{r}' &= \cos \beta, \quad \bar{r}(0) = 0, \quad \bar{r}(1) = 1/L, \quad \bar{z}' = \sin \beta, \quad \bar{z}(1) = 0, \end{aligned} \quad (7)$$

где  $\Phi = \Phi(\beta, \bar{r}, \bar{z}, L, C) = -BoL^2 \bar{z} - \sin \beta / \bar{r} + C$ ,  $\alpha - \pi/2 \leq \gamma \leq \alpha$  – свободный параметр,  $C = L(2 \sin \gamma - BoU/\pi)$ ,  $U = -2\pi L^3 \int_0^1 \bar{z} \bar{r} \cos \beta d\bar{s}$ .

На равномерной сетке  $\{\bar{s}_i = ih \mid i = \overline{0, N}, h = 1/N\}$  для подзадачи (7) построим разностную схему второго порядка аппроксимации

$$\begin{aligned}
 (\beta_i - \beta_{i-1})/h &= \Phi_{i-1/2}, \quad \Phi_{i-1/2} = \Phi(\beta_{i-1/2}, \bar{r}_{i-1/2}, \bar{z}_{i-1/2}, L, C), \\
 (\bar{r}_i - \bar{r}_{i-1})/h &= \cos \beta_{i-1/2}, \quad (\bar{z}_i - \bar{z}_{i-1})/h = \sin \beta_{i-1/2}, \quad i = \overline{1, N}, \\
 \beta_{i-1/2} &= (\beta_{i-1} + \beta_i)/2, \quad \bar{r}_{i-1/2} = (\bar{r}_{i-1} + \bar{r}_i)/2, \quad \bar{z}_{i-1/2} = (\bar{z}_{i-1} + \bar{z}_i)/2, \\
 \beta_0 &= 0, \quad \beta_N = \gamma, \quad \bar{r}_0 = 0, \quad \bar{z}_N = 0, \\
 L &= 1/\bar{r}_N, \quad U = -2\pi L^3 h \sum_{i=1}^{N-1} \bar{z}_i \bar{r}_i \cos \beta_i, \quad C = L(2 \sin \gamma - BoU / \pi).
 \end{aligned}$$

Тогда итерационный алгоритм для вычисления координат свободной поверхности построим в виде [2]

$$\beta_i^{n+1} = \beta_{i+1}^{n+1} - h\Phi_{i+1/2}^n + (1 - \tau)(\beta_i^n - \beta_{i+1}^n + h\Phi_{i+1/2}^n), \tag{8}$$

$$i = N - 1, N - 2, \dots, 1, \quad \beta_N^{n+1} = \gamma, \quad \beta_0^{n+1} = 0,$$

$$\bar{r}_i^{n+1} = \bar{r}_{i-1}^{n+1} + h \cos \beta_{i-1/2}^{n+1}, \quad i = \overline{1, N}, \quad \bar{r}_0^{n+1} = 0, \tag{9}$$

$$\bar{z}_i^{n+1} = \bar{z}_{i+1}^{n+1} - h \sin \beta_{i+1/2}^{n+1}, \quad i = N - 1, \dots, 0, \quad \bar{z}_N^{n+1} = 0, \tag{10}$$

где  $n = 0, 1, 2, \dots$  – номер итерации,  $\tau > 0$  – параметр релаксации.

Вычисления на каждой итерации осуществляются прямыми алгоритмами бегущего счета. Сначала по рекуррентному правилу (8) вычисляются сеточные значения  $\beta_i^{n+1}$ . Затем при помощи процедур (9) и (10) определяются новые итерационные приближения для координат свободной поверхности. И, наконец, по найденным значениям  $\bar{r}_i^{n+1}$ ,  $\bar{z}_i^{n+1}$ ,  $\beta_i^{n+1}$  вычисляются  $L^{n+1}$ ,  $U^{n+1}$ ,  $C^{n+1}$ ,  $\Phi_{i+1/2}^{n+1}$ . Итерационный процесс продолжается до тех пор, пока невязка разностного уравнения (8) на  $n$ -ой итерации не будет удовлетворять условию

$$\max_{0 < i < N} |(\beta_{i+1}^n - \beta_i^n)/h - \Phi_{i+1/2}^n| \leq \varepsilon.$$

Расчеты осуществлялись для  $h = 1/100$ ,  $\varepsilon = 10^{-4}$ ,  $Bo = 1$ . Получен широкий спектр равновесных форм свободной поверхности для различных углов смачивания, проведено численное исследование устойчивости равновесных форм свободной поверхности жидкости. На рис. 2 построена зависимость, отражающая влияние угла смачивания на критический объем жидкости, при котором наступает кризис равновесия в виде отрыва порции жидкости от пластины. Полученные значения согласуются с теоретическими результатами линейной теории устойчивости [1].

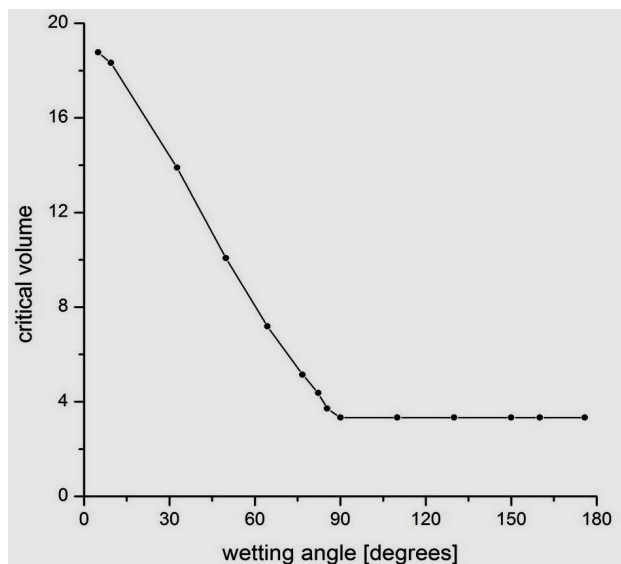


Рисунок 2 – Влияние угла смачивания на критический объем жидкости

**Список цитированных источников**

1. Методы решения задач гидромеханики для условий невесомости / А. Д. Мышкис [и др.]; под ред. А. Д. Мышкиса. – Киев: Наукова думка, 1992. – 592 с.
2. Polevikov, V. K. Methods for numerical modeling of two-dimensional capillary surfaces / V. K. Polevikov // Computational Methods in Applied Mathematics. – 2004. – Vol. 4, № 1. – P. 66-93.